海水とモルタルの極表層の反応を考慮したセメント硬化体の Cl 浸透モデル手法

大成建設株式会社 正会員 〇直町 聡子 東京理科大学 正会員 加藤 佳孝

1. 目的

海水には Cl 以外に多種イオンが存在する. 筆者ら^{例え} は 以 は , 海水中の多種イオンの存在がセメント硬化の Cl の浸透に影響を及ぼすことを報告している. 本研究では , JSCE-G572-2003 に準拠し海水よりもイオン濃度が約3倍高い Cl=10wt%とし, 共存イオンが異なる4種類の溶液に浸せきした場合の, モルタルの Cl 浸透性状について整理した. さらに, それらの現象を考慮したモルタルの Cl の浸透を, 拡散方程式を用いて簡易的に予測する方法について検討した.

2. 実験概要

浸せきしたモルタルの配合は、W/C=50%、S/C=2.4であり、28日間水中養生した ϕ 100×125mmの円柱試験体を1面浸せきした.浸せき溶液は、NaCl, NaCl+Na₂SO₄、NaCl+MgSO₄、人工海水の4種類でありCl=10wt%とし、イオン比率は海水組成と同様である. 試験体と溶液の体積比は1:2とした.浸せき期間は91,476,1100,1453,1736日である. Clの浸透性状を把握するためにJIS A1154に準拠し全Cl-濃度を測定した. 海水中の多種イオンの存在がモルタルのClの浸透に及ぼす現象を把握するために、粉末 X 線回折装置、示差熱重量分析、EPMAにより硬化体の内部性状の分析をした.

3. 実験結果

3. 1 モルタルの Cl の浸透に及ぼす現象

浸せき期間 1453 日の全 CI-濃度分布の測定結果を図-1 に示す.溶液種類により CI-の浸透が異なった. さらに分析結果より、モルタルの極表層で溶液毎に図-2 に示す現象が生じていることがわかった. NaCl+Na₂SO₄は、浸せき初期はポルトランダイト(CH)の溶脱と、エトリンガイト(Ett)が生成し結果としては NaCl よりも CI-の浸透を抑制し、浸せき後期は Ett が生成することで局所的な劣化が生じ CI-の浸透は促進した. NaCl+MgSO₄は、

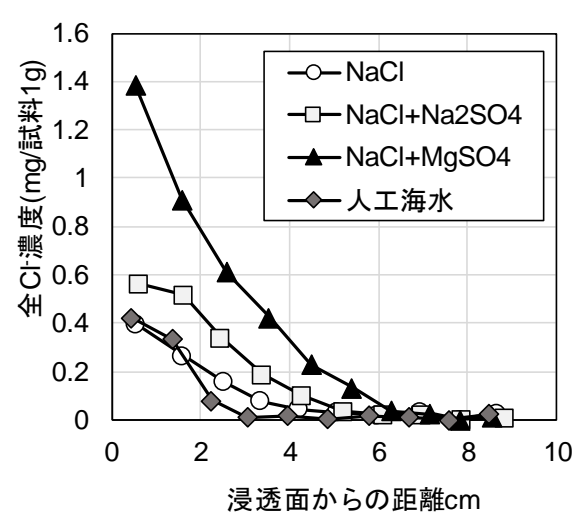


図-1 1453 日の全 CI-濃度分布の測定結果

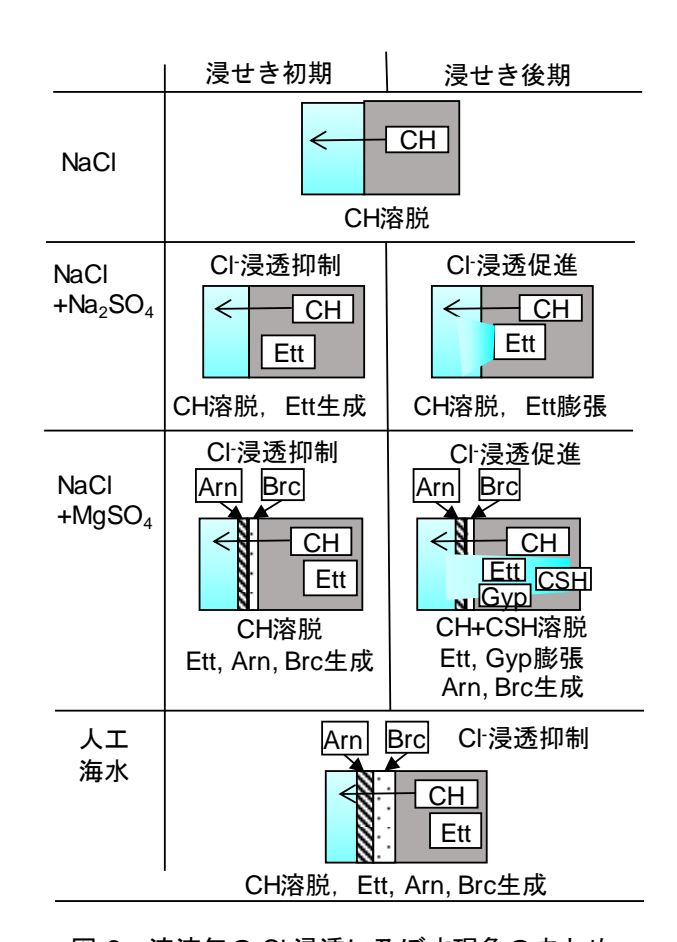


図-2 溶液毎の CI 浸透に及ぼす現象のまとめ

キーワード 硫酸イオン,マグネシウムイオン,極表層,促進,抑制,表面塩化物イオン濃度 連絡先 〒278-8510 千葉県野田市山崎 2641 TEL04-7123-9766 浸せき初期は CH の溶脱と、Ett, アラゴナイト(Arn), ブルーサイト(Brc)が生成し NaCl よりも Cl の浸透を抑制し、浸せき後期では CH と CSH が溶脱し、Ett と二水セッコウ(Gyp)が生成することで劣化が進行し、Cl の浸透を促進した。人工海水は、浸せき期間に関わらず CH の溶脱、Ett, Arn, および Brc の生成により NaCl よりも Cl の浸透が抑制された。

以上をまとめると、Cl⁻の浸透を抑制する現象は Arm と Brc の生成であり、劣化に起因し Cl⁻の浸透を促進する現象は Gyp と Ett の生成、CH と CSH の溶脱が考えられる. これらの現象は EPMA の元素分析結果より、浸透面から 10mm 未満の箇所で生じていることを確認した. ここで、Cl⁻の浸透を促進および抑制する要因が顕著に現れた浸せき溶液は、NaCl+MgSO₄ と人工海水であった. これらを対象として、セメント硬化体の Cl⁻の浸透を予測する方法の1つである拡散方程式を用いて、簡易的に Cl⁻の浸透を予測することを考えた.

3. 2 拡散方程式に基づく簡易的な Cl の予測 拡散方程式を差分化すると式(1)が得られる.

$$C_i^{n+1} = D \cdot \Delta t \cdot \frac{\left[C_{i+1}^n + \left(\frac{\Delta x^2}{D\Delta t} - 2\right)C_i^n + C_{i-1}^n\right]}{\Delta x^2}$$
(1)

ここに、C:全 Cl(wt% of sample)、D:拡散係数(cm²/年)、t:浸せき期間(年)、x:浸せき面からの距離(mm)、i:位置、n:時間である.

図-2に示す様に極表層の反応が CI-の移動に影響することから、ここでは、簡易的に位置 i=0 である表面 CI- 濃度(C_0)を時間変化させ、D は一定とした. なお、D は NaCl に浸せきした実験結果から各浸せき期間毎に求めた D の平均値(1.17cm²/年)とした. C_0 は、式(1)を用いて実験結果に合うように設定した. NaCl+MgSO4 は、浸せき初期は NaCl よりも CI-の浸透が抑制するように C_0 を小さくし、後期では大きく設定した. また人工海水の場合は、NaCl よりも常に CI-の浸透が抑制するように C_0 は小さく設定するが、浸せき期間経過に伴い CHの溶脱は進行することが考えられるため、 C_0 は浸せき期間経過に伴い増加するように設定した.

 C_0 の浸せき期間経過に伴う算出結果を, **図-3** に示す. また, **図-4** に**図-3** の C_0 の関数を用いて計算した結果と, 実験結果を示す. **図-4** より 1735 日の実験結果を C_0 の

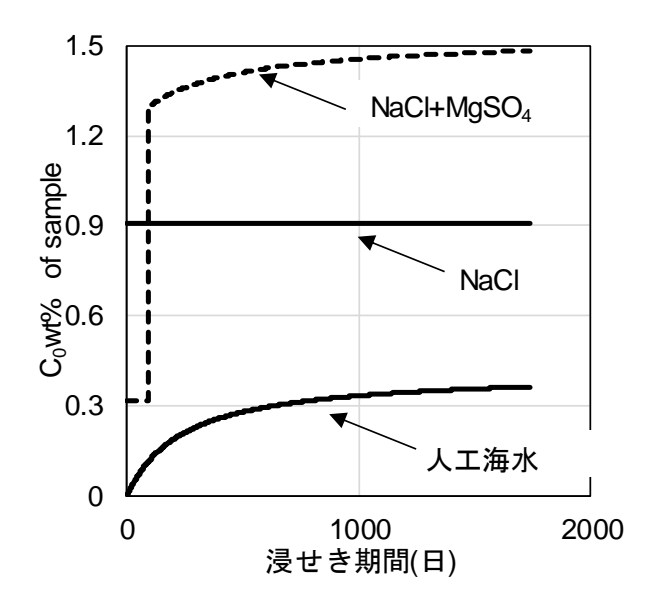


図-3 C₀の経時変化

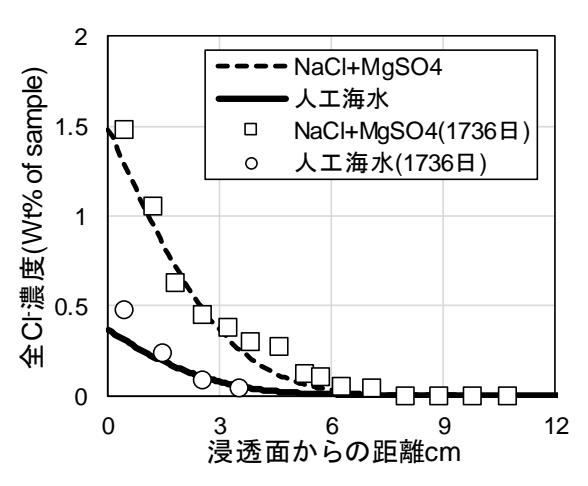


図-4 C₀の関数を用いた予測結果と実験結果

関数を用いて予測可能であることがわかる. つまり C₀ を時間の関数とすることで, 海水中の多種イオンの影響が生じているセメント硬化体の Cl-浸透を予測可能であることが示唆された.

4. まとめ

海水とモルタルの極表層の反応を組み込んだ表面 Cl-濃度の関数により、Cl-の浸透を予測可能であることが 示唆された.

参考文献

 直町ら:海水中の多種イオンがモルタルの Cl 浸透性状に及ぼす影響,コンクリート工学年次論文集, Vol.40, No.1, pp.723-728, 2018